

Je ne veux tirer aucune conclusion de ce qui peut sembler une opposition à l'opinion de ceux qui voient un calcifuge typique dans le *Maclachlani*. J'indique simplement des faits dont la discordance, peut-être plus apparente que réelle, demande d'autres recherches que je ne puis pas faire.

* * *

CONCLUSION. — On voit que l'étude du *Chaetopterygopsis Maclachlani* ne manque pas d'intérêt et soulève quelques problèmes biologiques qui valent la peine d'être tranchés, autant pour l'histoire de cette composante trichoptérienne qu'à un point de vue plus général.

Les circonstances actuelles, qui ont frappé si malheureusement, si tragiquement, tant de mes chers correspondants, notamment en Pologne, en Finlande, en Tchécoslovaquie, pays de merveilleux pionniers en limnologie, m'ont privé de la lumière de leurs connaissances approfondies. D'autres sont pratiquement isolés, et toute communication avec eux m'est impossible. Je le regrette profondément.

"Ce domaine (= l'étude des larves) est si vaste, écrit PERRET, et ce que nous en connaissons est si peu de chose en face de ce qui reste à découvrir, qu'il faudra encore de nombreux chercheurs désintéressés, consacrant des années d'un labeur qui coûte beaucoup d'argent, de peines, et rapporte peu de gloire. Mais cette étude est des plus passionnante et elle réserve bien des jouissances à celui qui veut s'y livrer" (1).

C'est là l'opinion d'un jeune enthousiaste. C'est toujours la mienne, qui ne suis plus jeune, mais, quand même, toujours enthousiaste.

(Laboratoire de Recherches hydrobiologiques).

(1) PERRET, Ch. E., Monographie du Lac de Taillères (Thèse en doctorat, SAUERLANRER et Cie, Aarau (Suisse), 1924, p. 49).

Chironomides de Laponie Suédoise

PAR LE

Dⁿ M. GOETGHEBUER

Les Chironomides qui sont signalés dans le présent travail ont été recueillis par M. le Prof. THIENEMANN dans le cours de l'été 1939, aux environs d'Abisko, en Laponie Suédoise. Beaucoup parmi eux sont des espèces nouvelles décrites pour la première fois. Pour chacune d'entre elles j'ai figuré l'hypopyge, dessiné à la chambre claire.

TANYPODINAE

Ablabesmyia abiskoensis nov. sp.

♂ Long. 5 mm. Jaune clair; bandes du mésonotum, mésosternum et métanotum noirs; scutellum jaune clair; abdomen blanc avec un anneau brunâtre à la base des tergites II à IV; un anneau plus

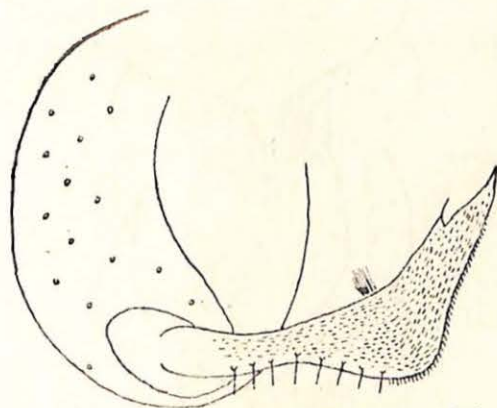


Fig. 1. — Moitié de l'hypopyge d'*Ablabesmyia abiskoensis*.

foncé et plus net couvre la moitié basale du V^e, les deux tiers du VI^e, les trois quarts du VII^e et le VIII^e presque entièrement brun; pattes jaunâtres; balanciers blancs. Palpes longs, antennes brisées.

Tibia antérieur et métatarse comme 65 est à 55; 4^e article des tarsi antérieurs presque double du 5^e; aux tarsi postérieurs le 5^e atteint les 2/3 du 4^e; tarse antérieur barbu; pattes postérieures longuement poilues. Aile lobée, pubescente, non tachetée; r_{4+5} presque double de r_1 , un peu dépassée par la c et beaucoup plus rapprochée de la pointe alaire que de cu_1 ; l'insertion de la $r-m$ sur la médiane presque au même niveau que celle de $m-cu$. Hypopyge (fig. 1) à article basal subglobuleux; l'article terminal plié à angle presque droit.

Un mâle volant près d'une source.

Procladius Lundstroemi GOETGH.

Syn. *barbitarsis* KIEFF. nec ZETT.

Laponie suédoise.

PODONOMINAE

Boreochlus Thienemanni EDW.

(1938) Zool. Anz. 122, pp. 152-158.

♂♂ volant près d'une source.

CHIRONOMINAE

Chironomus (Cryptochironomus) boreus nov. sp.

♂ Long. 6 mm. Noir; pattes brun noir; balanciers jaunâtres.

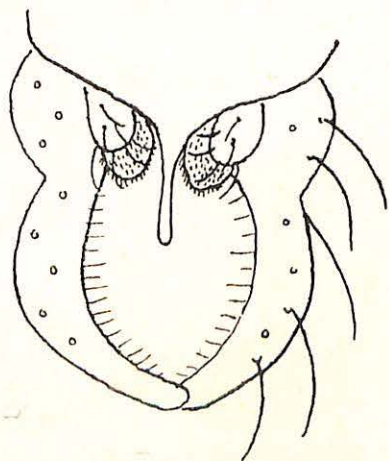


Fig. 2. — Hypopyge de *Ch. (Cryptochironomus) boreus*.

Palpes longs. A. R. = 1,55 environ (comme 22:35). Tarse antérieur brisé: 4^e article des tarsi postérieurs d'un 1/3 plus long que

le 5^e; pattes postérieures à poils longs. Aile à r_{2+3} aboutissant au premier quart de l'espace entre r_1 et r_{4+5} ; celle-ci plus courte que le double de r_1 , plus rapprochée de la pointe alaire que cu_1 ; fcu à peine distale de $r-m$, dépassée par an . Hypopyge (fig. 2) avec deux paires d'appendices à l'article basal; article terminal très arqué; pointe anale longue.

Capturé près d'une source.

Lauterbornia (Phaenopelma) brevicosta EDW.

Nombreux exemplaires à la surface de l'eau.

Lundstroemia pseudopraecox GOETGH.

1921, Mém. Mus. Hist. nat., Mém. 31. VIII, p. (sub. nom. *praecox*)

Nombreux exemplaires en différents endroits.

Micropsectra recurvata GOETGH.

(1928) Faune de France 18; Chironominae, p. 117.

Tanytarsus tenuis MEIG.

nec KIEFFER. (1830) Syst. Besch. VI, p. 255.

Torneträsk, volant en essaim.

ORTHOCLADINAE

Metriocnemus cinctus nov. sp.

♂ Long. 2 mm. Noir, abdomen un peu verdâtre, étroitement liséré de noir à la base de chaque tergite; pattes jaunâtres; balan-

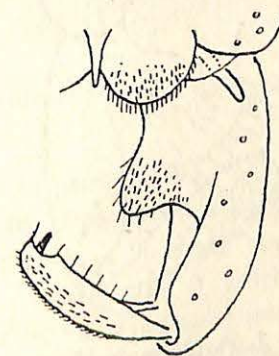


Fig. 3. — Moitié de l'hypopyge de *Metriocnemus cinctus*.

ciers blancs. A. R. = 0,65 (comme 54:36); antennes de 14 articles, ces articles à partir du 5^e plus longs que gros. L. R. =

0,65; 4^e article du tarse antérieur d'un quart plus long que le 5^e; aux tarses postérieurs ces articles sont égaux; pattes postérieures à poils assez courts. Aile non lobée, pubescente au quart distal dans la R₅, la M, le long de la cu₁, et dans la CU; r₄₊₅ notablement dépassée par c, un peu plus longue que le double de r₁, plus éloignée de la pointe alaire que la cu₁; c₂ un peu arquée mais non sinueuse; fcu sous r-m et non dépassée par an: squame nue. Hypopyge (fig. 3) sans pointe anale.

♂♂ volant dans une forêt de bouleaux.

Metriocnemus nigrutilus nov. sp.

Long. 2,5 mm. Noir; pattes brunes; balanciers blancs. A. R. = 0,8 environ (52:40). L. R. = 0,5 environ; 4^e article de tous les

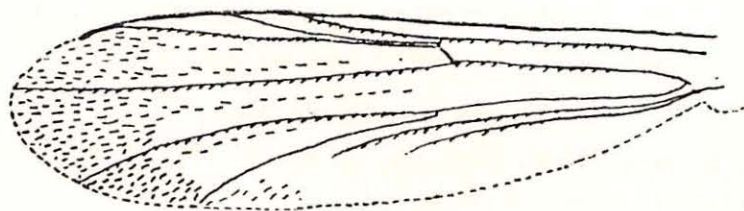


Fig. 4. — Aile de *Metriocnemus nigrutilus*.

tarses à peu près aussi long que le 5^e; poils des pattes postérieures relativement courts. Aile éparsément pubescente sur la moitié distale,

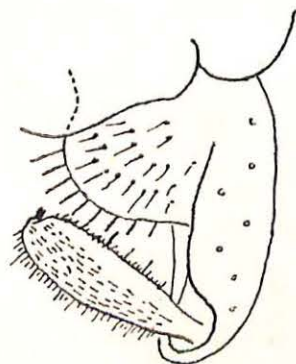


Fig. 5. — Moitié de l'hypopyge de *Metriocnemus nigrutilus*.

non lobée; r₄₊₅ plus longue que le double de r₁, longuement dépassée par le c et située vis à vis de cu₁; cu₂ non sinueuse; fcu non ou à peine distale de r-m; an s'arrêtant sous fcu; squame ?

(fig. 4) Hypopyge (fig. 5) sans pointe anale; lobe interne de l'article basal grand et arrondi.

Pris en essaim dans une forêt de bouleaux et aussi près d'une source.

Metriocnemus volitans nov. sp.

♂♀ Long. 2,5 mm. Noir; abdomen et pattes brunâtres; balanciers blanc verdâtre. Antennes ♂ de 14 articles, le dernier avec une soie apicale; A. R. = 1 environ (comme 49:48); les articles 3-6 pas plus longs que larges, les 8-13 plus longs que larges. L. R. = 0,75; 4^e article de tous les tarses plus long que le 5^e. Aile non lobée; squame nue; r₄₊₅ longuement dépassée par c; fcu très distale de r-m (au moins des 2/3 de la cu₂); r₄₊₅ et cu₁

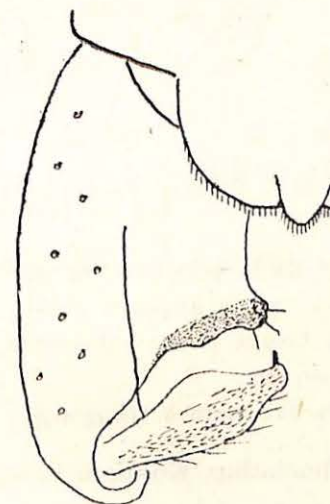


Fig. 6. Moitié de l'hypopyge de *Metriocnemus volitans*.

à égale distance de la pointe alaire; r₂₊₃ aboutissant plus près de r₁ que de r₄₊₅; an dépassant notablement fcu: pubescence de l'aile très réduite, localisée à la pointe alaire dans la R₅ et la M.

Antennes ♀ de 7 articles; le 2^e article non étranglé, avec un veticille; les 3-6 subovoïdaux ou subcylindriques; le 7^e un peu plus long que les deux précédents réunis, muni de 4-5 appendices sensoriels et pourvu d'une courte soie antéapicale. Hypopyge paraissant sans pointe anale (fig. 6).

♂♂ en essaim près d'une source.

Orthocladius lapponicus nov. sp.

♂ Long. 3 mm. Noir, pattes brunes, balanciers blanc jaunâtre. Yeux nus, palpes assez longs. A. R. = 1 (comme 54 : 53). L. R. = 0,6 (comme 50 : 30); 4^e article de tous les tarses égal au 5^e; tarse antérieur non barbu; poils des pattes postérieures courts. Aile nue, non ponctuée; r_{4+5} faiblement dépassée par c, presque double

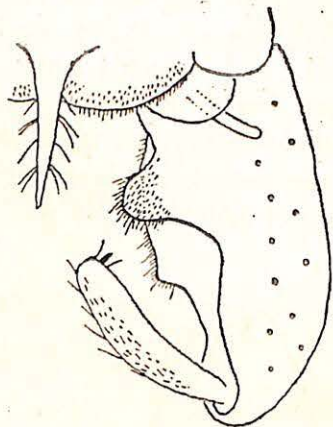


Fig. 7. — Moitié de l'hypopyge d'*Orthocladius lapponicus*.

de r_1 , plus rapprochée de la pointe alaire que la cu_1 ; r_{2+3} plus près de r_1 que de r_{4+5} ; fcu à peine distale de $r-m$. Hypopyge (fig. 7) avec une très longue pointe pubescente; article basal pourvu d'un double lobe superposé.

Sur la mousse dans une mare à sphagnum.

Orthocladius Knabeni GOETGH.

(1933) Skrif. om Svalb. og Ishav. N° 53 p. 26.

Formule antennaire un peu différente du type; elle est de 1,2 au lieu de 1,8. ♂ volant près d'une source.

Orthocladius obesus nov. sp.

♂ Long. 4 mm. Noir. pattes brunes, balanciers blanchâtres. Palpes médiocres. A. R. = 2 (comme 46 : 93); articles des antennes pas plus longs que larges. L. R. = 0,65; 4^e article du tarse antérieur d'un tiers plus long que le 5^e; aux tarses postérieurs ces articles sont égaux; poils des pattes postérieures très courts; pulvilles nuls; empodium plus court que les crochets. Aile nue, non ponctuée, à lobe proéminent du côté interne; r_{4+5} non dépassée

par la c, double de r_1 et plus près de la pointe alaire que cu_1 ; r_{2+3} plus rapprochée de r_1 que de r_{4+5} ; fcu à peine distale de $r-m$ et dépassée par an. Hypopyge (fig. 8) semblable à celui de

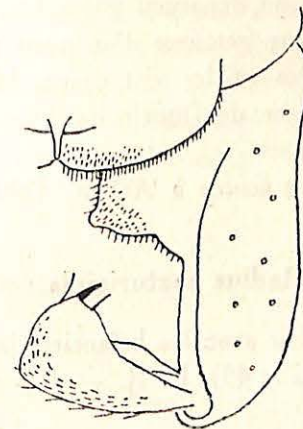


Fig. 8. — Moitié de l'hypopyge d'*Orthocladius obesus*.

Chaetocladus acuticornis KIEFF. mais ailes non ponctuées; courte pointe anale présente; article terminal large à son extrémité.

Torneträsk, à la surface de l'eau.

Orthocladius rectangularis nov. sp.

♂ Long. 3 mm. Noir, pattes brunes, balanciers blanchâtres.

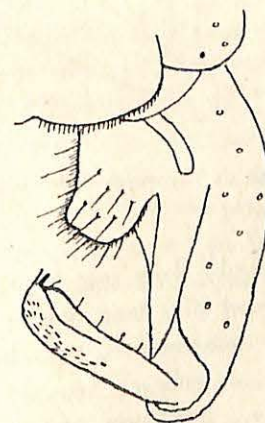


Fig. 9. — Moitié de l'hypopyge d'*Orthocladius rectangularis*.

A. R. = 1,5 environ (comme 55 : 85); les articles 3-13 pas plus longs que larges. Palpes relativement courts, le 4^e article à peine

plus long que le 3°. L. R. = 0,65; r_{2+3} aboutissant au premier tiers de l'espace entre r_1 et r_{4+5} ; celle-ci double de r_1 , à peine dépassée par c , beaucoup plus rapprochée de la pointe alaire que cu_1 ; fcu sous $r-m$; an ne dépassant guère fcu . Tarse antérieur non barbu; 4° article du tarse antérieur d'un quart plus long que le 5°; aux tarses postérieurs ces articles sont égaux. Hypopyge (fig. 9) sans pointe anale; lobe interne de l'article basal assez grand, subrectangulaire.

En essaim près d'une source à 900 m. d'altitude.

Orthocladus scaturiginis nov. sp.

♂ Long. 4 mm. Noir avec les balanciers jaunâtres. Palpes longs. A. R. = 2 (comme 22:45). L. R. = 0,5 environ; 4° article du

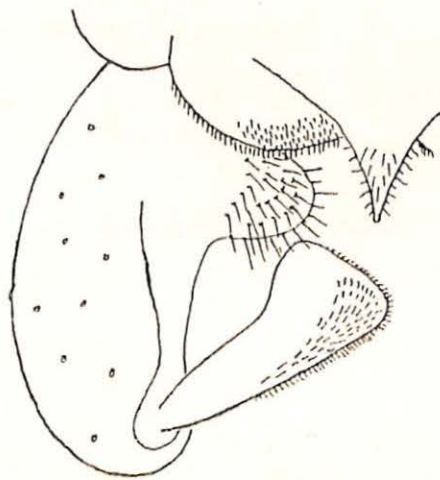


Fig. 10. — Moitié de l'hypopyge d'*Orthocladus scaturiginis*.

tarse antérieur d'un tiers plus long que le 5°; aux tarses postérieurs le 4° article est d'un quart plus long que le 5°; tarse antérieur non barbu, aile nue, non ponctuée; r_{2+3} aboutissant au milieu de l'espace entre r_1 et r_{4+5} ; celle-ci peu ou point dépassée par c , double plus long que r_1 , beaucoup plus rapprochée de la pointe alaire que cu_1 ; fcu un peu distale de $r-m$ (de la longueur de la $r-m$); an dépassant la fcu . Hypopyge (fig. 10) avec une large pointe; lobe interne de l'article basal situé à la base de cet article.

Capturé au vol, près d'une source.

Orthocladus aquilonaris nov. sp.

♂ Long. 4 mm. Noir; pattes brunes; balanciers blanchâtres. Yeux nus. A. R. = 1,5 environ (comme 50:72); tous les articles 3-13 ne sont pas plus longs que larges. Palpes de 4 articles, le 2° plus court que le 3°, qui est lui-même plus court que le 4°. L. R. = 0,75; 4° article du tarse antérieur d'un quart plus court que le 5°; aux tarses postérieurs ces articles sont égaux; tarse antérieur non barbu; pattes postérieures à poils courts. Ailes nues, non ponctuées,

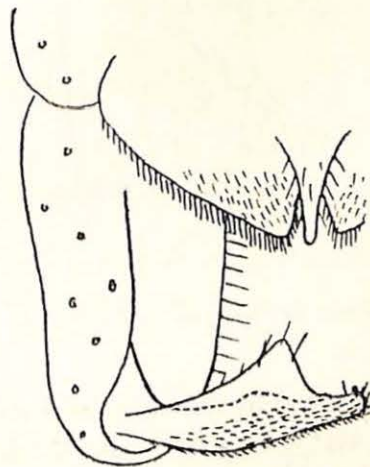


Fig. 11. — Moitié de l'hypopyge d'*Orthocladus aquilonaris*.

à lobe anal un peu proéminent; r_{4+5} non dépassée par la c , plus proche de la pointe alaire que cu_1 ; fcu sous $r-m$ et dépassée par an ; squame frangée (?). Hypopyge (fig. 11) avec une pointe anale pubescente; article basal sans lobe interne; article terminal bifide.

Torneträsk, à la surface de l'eau.

D'après le Prof. THIENEMANN, cette espèce appartient par ses états larvaires au genre *Diplocladius*; mais par les caractères de l'imaginaire elle doit se ranger dans le genre *Orthocladus*.

Psectrocladius lapponicus nov. sp.

♂ Long. 4,5 mm. Noir y compris les balanciers; pattes d'un brun noir. Palpes assez courts. A. R. = 2 environ (comme 19:42); articles 3-13 discoïdaux. Tibia intermédiaire avec deux éperons inégaux; le tibia postérieur aussi à deux éperons; tarse antérieur barbu; 4° article du tarse antérieur d'un quart plus long que le 5°; aux tarses postérieurs ces articles sont subégaux; L. R. = 0,65. Aile

nue, non ponctuée; espace entre r_1 et r_{4+5} large; r_{2+3} aboutissant au milieu de cet espace; r_{4+5} double de r_1 , à peine dépassée par an. Hypopyge (fig. 12) avec une courte pointe; lobe interne de l'article basal presque entièrement caché par la lamelle dorsale.

♀ Même taille et même coloration. Antennes de 6 articles, le

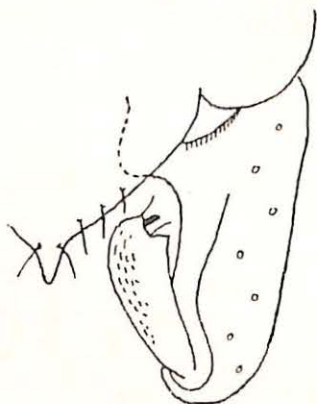


Fig. 12. — Moitié de l'hypopyge de *Psectrocladius lapponicus*.

dernier article pourvu de deux soies apicales divergentes, un peu plus court que les deux précédents réunis; le 5^e plus long que le 3^e ou le 4^e, subcylindrique de même que le précédent, le 3^e subfusiforme, le 2^e légèrement étranglé au milieu. Tarse antérieur non barbu, ce qui différencie cette espèce de *P. barbalitarsis* KIEFF.

Pris volant en essaim près d'un lac, à 1000 m. d'altitude.

Smittia aquilonis nov. sp.

♂ Long. 2 mm. Noir; pattes brunes; balanciers blanchâtres. Yeux nus. A. R. = 1 environ (comme 48:50). Palpes longs. L. R. = 0,5 environ; 4^e article du tarse antérieur légèrement plus long que le 5^e; aux tarses postérieurs ces articles sont égaux; poils des pattes postérieures à poils assez courts; tarse antérieur non barbu; empodium plus court que les crochets. Aile nue, ni ponctuée, ni lobée; r_{4+5} double de r_1 , très longuement dépassée par c, située vis à vis de cu_1 ; fcu très distale de r-m et dépassée par an; r_{2+3} aboutissant au milieu de l'espace entre r_1 et r_{4+5} ; cu_2 arquée, à peine sinueuse; squame nue. Hypopyge (fig. 13) sans pointe, à lobe interne de l'article basal grand, arrondi et situé à la base de l'article.

♀ Long. 1,75 mm. Même coloration. Antennes de 6 articles, 1 1/2 fois le 5^e, sans soie terminale; les 4^e et 5^e subfusiformes,



Fig. 13. — Moitié de l'hypopyge de *Smittia aquilonis*.

chacun d'eux plus long que le 3^e, qui est aminci seulement au bout distal; soies sensorielles assez longues.

Pris au vol près d'une source.

Smittia abiskoensis nov. sp.

♂ Long. 2 mm. Noir, pattes brunes, balanciers blancs. Yeux nus.

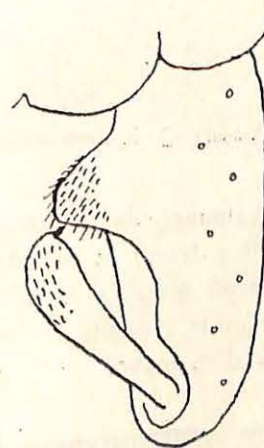


Fig. 14. — Moitié de l'hypopyge de *Smittia abiskoensis*.

A. R. = 1 environ (comme 49:52). Pattes postérieures à poils assez courts; L. R. = 0,5; 4^e article du tarse antérieur et des

tarses postérieurs subégal au 5^e. Aile nue, non ponctuée; r_{4+5} faiblement dépassée par c , double de r_1 et plus rapprochée de la pointe alaire que cu_1 ; r_{2+3} aboutissant au milieu de l'espace entre r_1 et r_{4+5} ; fcu très distale de $r-m$ (de la longueur des $2/3$ du cu_2 et dépassée par an). Hypopyge (fig. 14) paraissant sans pointe anale.

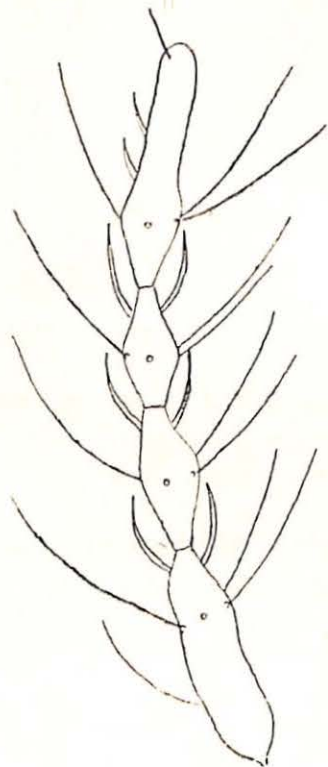


Fig. 15. — Antenne ♀ de *Smittia abiskoensis*.

♀ Même coloration. Antennes de 5 articles, le 2^e légèrement étranglé avec deux verticilles, les 3^e et 4^e subfusiformes, le 5^e plus court que les deux précédents réunis avec un long verticille; soies sensorielles longues, atteignant le verticille de l'article suivant. (fig. 15).
Capturé en essaim près d'un étang.

***Limnophyes septentrionalis* nov. sp.**

♂ Long. 2 mm. Noir, pattes brunes, balanciers jaunâtres. Mésonotum sans soies lancéolées. A. R. = 0,85 (comme 48:40); articles des antennes à partir du 6^e plus longs que larges. Palpes relativement longs. L. R. = 0,5; 4^e article des tarses antérieurs égal au

5^e; aux tarses postérieurs 4^e article plus court que le 5^e; les articles 2^e et 3^e subégaux; pattes postérieures à poils courts. Aile nue, non ponctuée, lobée; r_{4+5} notablement dépassé par c , double de r_1 et



Fig. 16. — Moitié de l'hypopyge de *Limnophyes septentrionalis*.

plus rapprochée de la pointe alaire que cu_1 ; r_{2+3} aboutissant plus près de r_1 que de r_{4+5} ; fcu distale de la $r-m$ (de la moitié de la

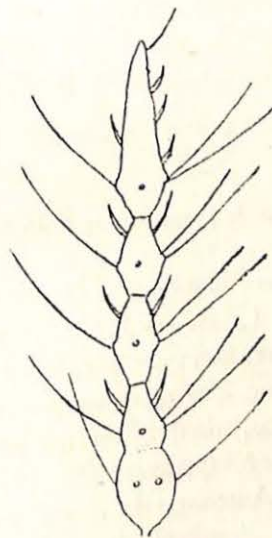


Fig. 17. — Antenne ♀ de *Limnophyes septentrionalis*.

longueur de cu_2); celle-ci sinueuse; an dépassant un peu fcu; squame? Hypopyge (fig. 16) sans pointe anale; article basal avec deux petits lobes.

♀ Même coloration, Antennes (fig. 17) courtes en réalité de 5 articles, le 2^e mal séparé du suivant; les 2 avant-derniers subfusiformes; le dernier un peu plus long que les deux précédents réunis, avec une soie préapicale. Aile ponctuées de microtriches; r_{4+5} longuement dépassée.

Pris au vol près d'un étang.

Eukiefferiella brevicealcar KIEFF.

(1911) Bull. soc. ent. France p. 82.

Volant en essaim, près d'une rivière à Abisko.

Eukiefferiella suecica nov. sp.

♂ Long. 2 mm. D'un jaune clair; bandes du mésonotum, mésosternum, une tache sur les pleures et métanotum noirs; abdomen et

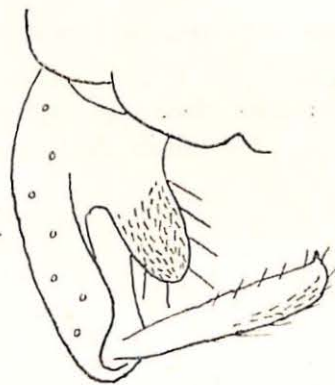


Fig. 18. — Moitié de l'hypopyge de *Eukiefferiella suecica*.

pattes verdâtres; balanciers blancs. A. R. = 0,6 (comme 70:45). Palpes longs. Yeux nus. L. R. = 0,75; 4^e et 5^e articles de tous les tarses égaux. Aile nue, non ponctuée, lobée; r_{4+5} médiocrement dépassée, 3 fois aussi long que r_1 et un peu plus rapprochée de la pointe alaire que cu_1 ; cu_2 droite; fcu un peu distale de $r-m$ et dépassée par an ; squame? Hypopyge (fig. 18) sans pointe anale.

♀ Même coloration. Antennes de 6 articles, le 2^e non étranglé, muni de 2 verticilles, le 3^e subcylindrique, les 4^e et 5^e subfusiformes, le 6^e presque aussi long que les 2 précédents réunis. (fig. 19).

Hypopyge semblable à celui de *E. pseudomontana* GOETGH, mais A. R. = 0,6 au lieu de 0,4 et antennes à articles 3-5 non ovoïdes et non courtes.

Près d'une source.

Trichocladus lucidus STAEG.

(1838) Kröj. Tidskr. II, p. 369.

Commun dans toute l'Europe.

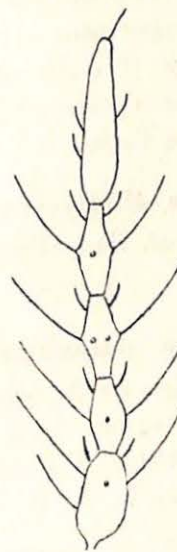


Fig. 19. — Antenne ♀ de *Eukiefferiella suecica*.

Trichocladus Thienemanni nov. sp.

♂ Long. 3 mm. Noir, abdomen vert sombre, pattes jaunâtres,

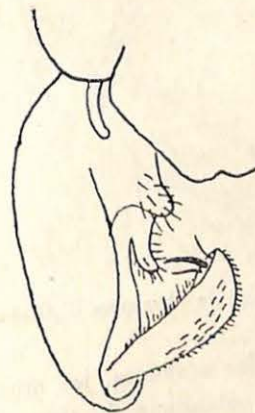


Fig. 20. — Moitié de l'hypopyge de *Trichocladus Thienemanni*.

balanciers blanchâtres. Yeux pubescents. Palpes assez longs. A. R.

= 1,1 environ (comme 54 : 50). Poils des pattes postérieures courts ; L. R. = 0,5 ; 4^e et 5^e articles de tous les tarses égaux. Aile nue, non ponctuée, lobée ; r_{1+5} à peine dépassée, un peu plus proche de la pointe alaire que cu_1 et double plus longue que la r_1 ; r_{2+3} aboutissant au milieu de l'espace entre r_1 et r_{4+5} ; fcu sous r-m, et dépassée par an. Hypopyge (fig. 20) sans pointe anale ; article basal pourvu de deux lobules \pm superposés.

Torneträsk, à la surface de l'eau.

Cricotopus albiforceps KIEFF.

(1916) Archiv. f. Hydrobiol. Supp.-Band II, p. 533.

Sur le bord d'une rivière.

Abiskomyia paravirgo nov. sp.

♂ Long. 3 mm. Jaune ; bandes du mésonotum, une tache sur les pleures, mésosternum et métanotum noirs ; abdomen jaune ; pattes jaunâtres ; balanciers blancs. Palpes à 2^e article plus long que le 3^e mais un peu plus court que le 4^e. A. R. = 0,85 (comme 60 : 51).

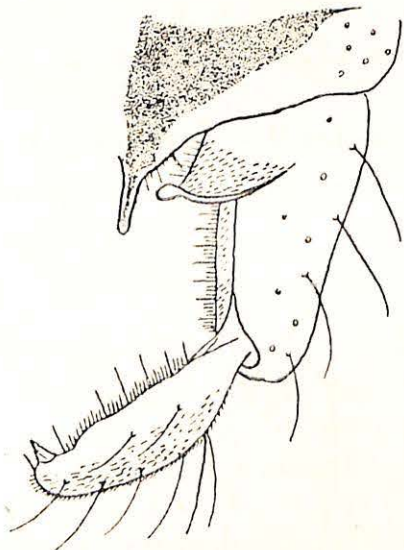


Fig. 21. — Moitié de l'hypopyge d'*Abiskomyia paravirgo*.

A partir du 6^e article des antennes, les articles sont plus longs que larges. L. R. = 0,75 ; 4^e article du tarse antérieur d'un quart plus long que le 5) ; aux tarses postérieurs ces articles sont égaux ; les deux éparons des tibias postérieurs sont inégaux et barbelés ; le peigne fait défaut ; empodium plus court que les crochets ; pulvilles

nuls. Ailes ponctuées, lobées ; squame frangée ; r_{4+5} non dépassée par la c, double de r_1 et située plus près de la pointe alaire que cu_1 ; fcu un peu distale de r-m et dépassée par an. Hypopyge (fig. 21) avec une pointe anale ; lobé interne de l'article basal situé à la base de cet article ; article terminal pourvu de longues soies comme les parties latérales de l'article basal.

1 ♂ près d'une source d'eau vive.

La coloration de ce ♂, différente de celle de la ♀ de *A. virgo* Edw., fait penser qu'on a affaire à une autre espèce, cette différence se constate aussi dans les nymphes de ces deux formes.

ANNEXE

Dasyhelea punctiventris nov. sp. (fig. 22)

L'espèce dont la description suit a été capturé en Holstein.

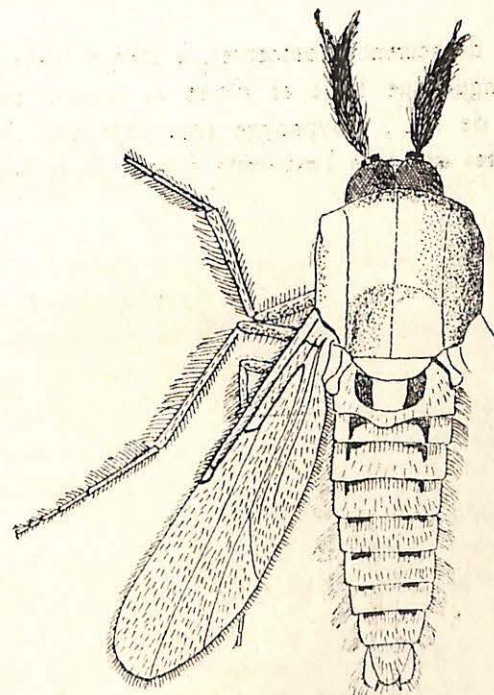


Fig. 22. — *Dasyhelea punctiventris*.

♂ Long. 2 mm. D'un blanc sale, y compris l'abdomen et les pattes ; balanciers blanchâtres ; genoux noirs ; mésonotum parcouru par

3 lignes noires longitudinales, abdomen avec un double trait noir transversal, à la base de chaque tergite. Antennes à panache noir; 1.^{er} article le plus long, les 13^e et 14^e subégaux mais chacun d'eux plus court que le 12^e. L. R. = 0,6; 4^e et 5^e articles des tarsi

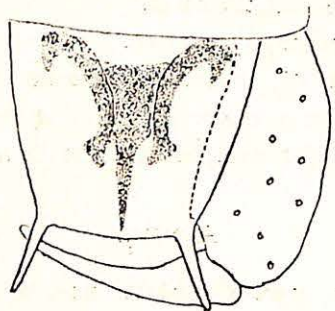


Fig. 23. — Hypopyge de *Dasyhelea punctiventris*.

subégaux. Ailes densément pubescentes, à lobe nul, avec une cellule presque aussi longue que large et située au milieu de l'aile; fcu sous l'extrémité de r_{4+5} . Hypopyge (fig. 23) avec deux longues pointes divergentes situées à l'extrémité distale de la lamelle.

II

Assemblée mensuelle du 3 février 1940

Présidence de M. A. DUFRANE, Président.

— La séance est ouverte à 17 h. 10.

Excusés : MM. BALL, A., FRENNET, JANSSENS, A., LAMEERE, D'ORCHYMONT et VAN DEN BRUEL.

Nécrologie. — M. DUFRANE fait part du décès de M. Francis-J. BALL, ancien vice-président de notre Société. M. F.-J. BALL s'était spécialisé dans l'étude des Rhopalocères du globe, mais on lui doit aussi un remarquable travail sur les Bourdons de la Belgique.

Nous présentons à M. Antoine BALL, notre Trésorier, ainsi qu'à la Famille, l'expression de nos vives et bien sincères condoléances.

Communications. — M. GUILLEAUME dit quelques mots au sujet de sa note publiée plus loin et souligne tout l'intérêt de certaines captures faites par ses correspondants.

— M. SEGERS exhibe les Coléoptères ci-après, dont la détermination est due à M. ROELOFS :

Anommatus basalis REIT., **Belg. nov. sp.**, capturé à Edegem, le 30-X-32, dans les galeries larvaires d'un Scolytide du Frêne (branche de l'épaisseur d'un pouce);

Sitona cylindricollis FÄHRIS, déjà signalé par EVERTS, suivant BEDEL, des environs de Bruxelles. Ce nouvel exemplaire a été pris à Sainte-Anne (Anvers), le 14-IV-39, dans les dunes qui se trouvent à proximité de l'Escaut;

Pentaphyllus testaceus HELLW., dont la présence en Belgique est restée douteuse jusqu'à présent. A été trouvé par notre Collègue dans le tronc d'un Chêne abattu, à Berchem (Anvers), le 15-XII-1939. Le bois dans lequel cet insecte vivait en masse était devenu spongieux par l'attaque du Champignon *Armillaria mellea*, et complètement vermoulu;